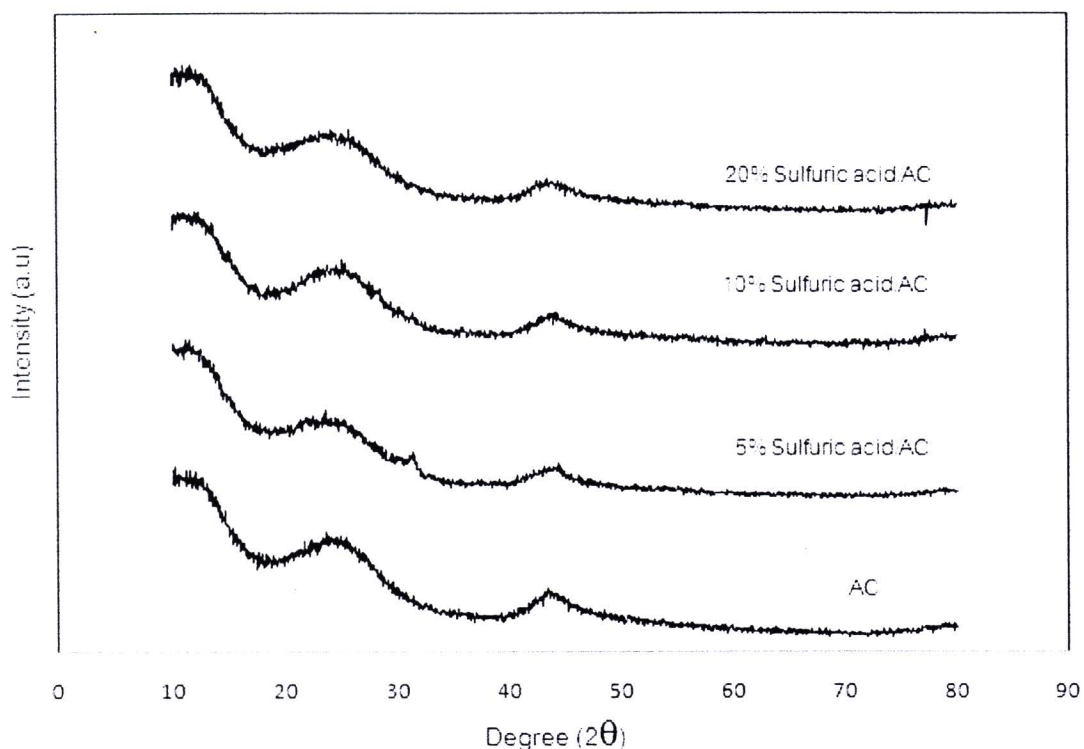


บทที่ 4

ผลการวิเคราะห์ข้อมูล

4.1 คุณลักษณะของตัวเร่งปฏิกิริยา

4.1.1 ผลการวิเคราะห์ XRD



รูปที่ 15 แสดง XRD Pattern ของตัวเร่งปฏิกิริยา $\text{H}_2\text{SO}_4/\text{AC}$ ที่ความเข้มข้นของสารละลายกรดซัลฟิวริกที่ในการดูดซับบนถ่านกัมมันต์ต่างๆ (a) AC; (b) 5 %w/w $\text{H}_2\text{SO}_4/\text{AC}$; (c) 10 %w/w $\text{H}_2\text{SO}_4/\text{AC}$; (d) 20 %w/w $\text{H}_2\text{SO}_4/\text{AC}$

จากผลการวิเคราะห์ XRD ลักษณะพีคที่ตำแหน่ง 2θ เท่ากับ 25.2° และ 44.3° ดังรูปที่ 15 แสดงโครงสร้างถ่านกัมมันต์เป็นแบบกราไฟต์ (graphite) โดยพบว่าการเพิ่มความเข้มข้นของสารละลายกรดซัลฟิวริกลงบนถ่านกัมมันต์ มีผลเล็กน้อยต่อความสูงของพีค (Intensity) ในช่วงองศาที่ 25.2° และ 44.3° โดยพบว่ามีค่าน้อยลงเล็กน้อยหลังจากโหลด เนื่องจากการเปลี่ยนแปลงพีคค่อนข้างน้อยแสดงให้เห็นว่ากรดซัลฟิวริกที่ซึมเข้าไปในเนื้อถ่านกัมมันต์ไม่ทำให้

เกิดการเปลี่ยนแปลงทางโครงสร้าง นอกจากรูปแบบที่ไม่พบพีคแสดงเอกลักษณ์ของหมู่ฟังก์ชันเจือปน หลังจากการโหลดกรดซัลฟิวเริก อย่างไรก็ตาม มีงานวิจัยที่แสดงผลการโหลดกรดซัลฟิวเริกต่อการเปลี่ยนแปลงตัวเร่งปฏิกิริยาของแข็งชนิดอื่นโดยเฉพาะในกรณีที่เป็นโครงสร้างผลึก เช่น ในปี 2011 Sohair และคณะ ได้วัดค่าของซัลเฟตเซอร์โคเนียม (SZ) เมื่อใช้ความเข้มข้นของกรดซัลฟิวเริกที่โหลดลงบนเซอร์โคเนียมแตกต่างกันพบว่า ซัลเฟตมีผลต่อเฟสของผลึก เนื่องจากหลักพื้นฐานซัลเฟตมีความเสถียรมีเมื่อโครงสร้างเป็น tetragonal polymorph และซัลเฟตยังมีผลต่อการขับยังการสร้างผลึกของเซอร์โคเนียม โดยเมื่อความเข้มข้นของกรดซัลฟิวเริกเพิ่มขึ้นจนถึงความเข้มข้นที่ 15% มีผลทำให้เฟสเดตระgonal (tetragonal) เพิ่มขึ้น จนกระทั่งเมื่อความเข้มมากกว่า 15% จึงจะมีค่าลดลงซึ่งอาจจะเนื่องมาจากการซินเทียริซึ่งในกระบวนการ หรือเกิดการขยายขนาดตัวของรูปรุน (the grain growth) [34]

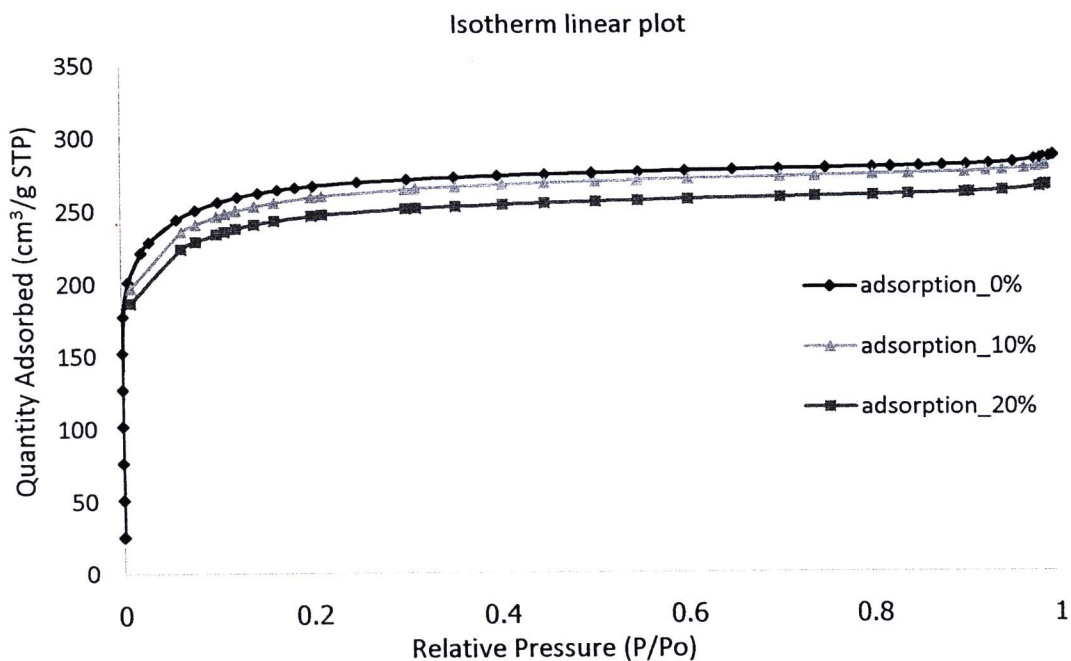
4.1.2 ผลการวิเคราะห์โดยวิธีการดูดซับด้วยก้าชในตอรเจน

ตารางที่ 14 แสดงผลการวิเคราะห์พื้นที่ผิว ปริมาตรรูพุน และขนาดเฉลี่ยของรูพุนของตัวเร่งปฏิกิริยา AC และ H_2SO_4/AC ที่ความเข้มข้นของสารละลายกรดซัลฟิวเริกที่ในการดูดซับบนถ่านกัมมันต์ต่างๆ โดยใช้เทคนิคการดูดซับด้วยก้าชในตอรเจน

Catalyst	Surface area (m^2/g)	Pore volume (cm^3/g)	Average pore diameter (nm)
AC	1172	0.44	1.99
10% H_2SO_4/AC	1182	0.43	1.96
20% H_2SO_4/AC	1124	0.41	1.95

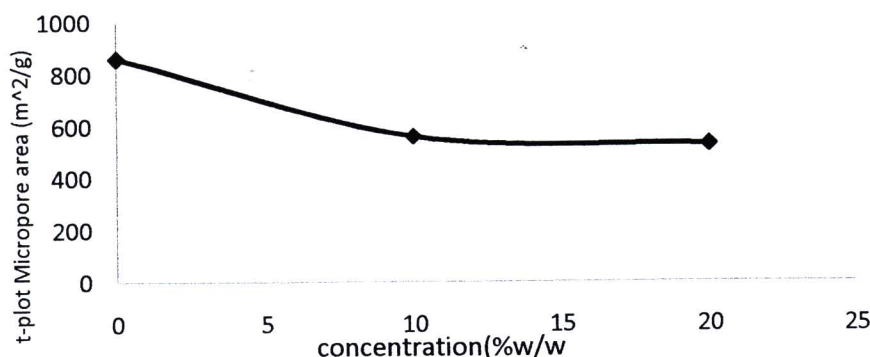
จากตารางแสดงที่ 14 แสดงให้เห็นว่าเมื่อเปลี่ยนความเข้มข้นของกรดซัลฟิวเริกที่ดูดซับบนตัวเร่งปฏิกิริยา ปรากฏว่าพื้นผิวจำเพาะมีค่าใกล้เคียงกันไม่แตกต่างกันมากนัก โดย ณ ความเข้มข้น 10% H_2SO_4/AC มีค่าสูงสุด ในขณะที่เมื่อโหลดกรดซัลฟิวเริกที่ความเข้มข้น 20% H_2SO_4/AC พื้นที่ผิวกลับมีค่าลดลงประมาณ 5% ทั้งนี้สังเกตเห็นว่าเมื่อความเข้มข้นเพิ่มขึ้นขนาดรูพุนและขนาดเส้นผ่าศูนย์กลางเฉลี่ยของรูพุนมีขนาดเล็กลงเล็กน้อย ซึ่งอาจบ่งชี้ว่าตัวเร่งปฏิกิริยา มีการดูดซับ

กรดซัลฟิว蕊กเข้าสู่รูพรุน นอกจากรักษาความชื้นของรูพรุนโดยเฉลี่ยอยู่ในช่วง รูพรุนขนาดเล็ก (Micropore)



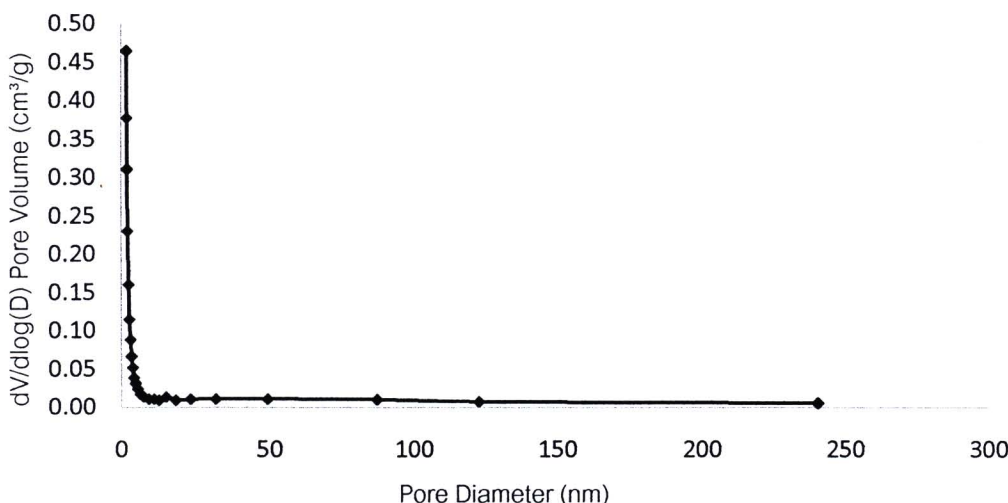
รูปที่ 16 แสดงไอโซเทอมการดูดซับของถ่านกัมมันต์ ณ ความชื้นขั้นของกรดซัลฟิว蕊กที่ต่างกัน

รูปที่ 16 แสดงไอโซเทอมที่พบจากการทดลองการดูดซับคายซับบนพื้นที่ผิว ซึ่งแสดงให้เห็นว่ามีรูปแบบไอโซเทอมการดูดซับเป็นแบบชนิดที่ 1 ซึ่งเกิดจากการดูดซับบนพื้นผิวที่มีรูพรุนในระดับไมโคร ดังนั้นสรุปได้ว่าถ่านกัมมันต์มีลักษณะรูพรุนเป็นแบบ Micropore เป็นส่วนใหญ่

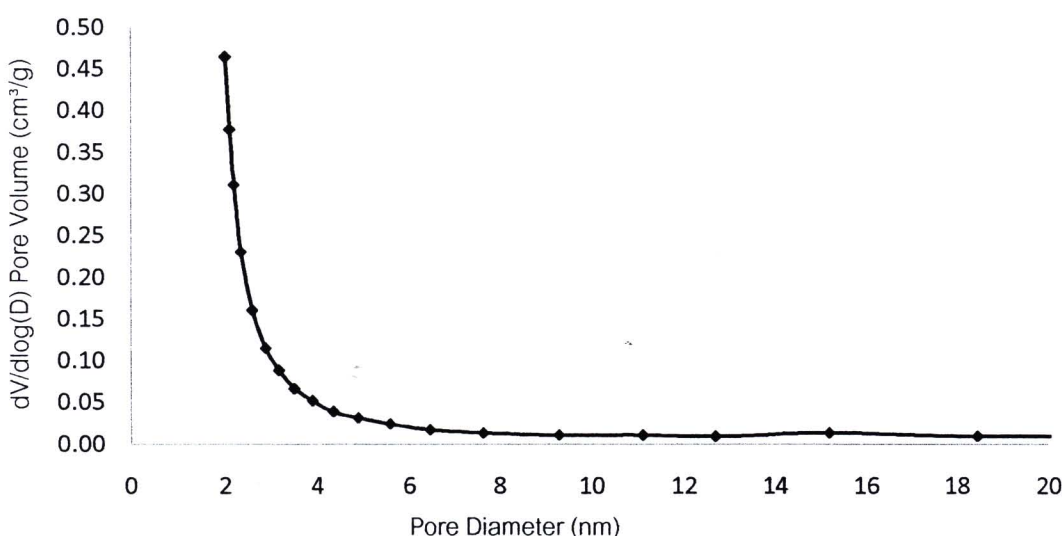


รูปที่ 17 แสดงผลพื้นที่ผิว Micropore ของถ่านกัมมันต์ที่ผ่านการดูดซับด้วยความชื้นต่างๆ ของ H₂SO₄

จากรูปที่ 17 จะสังเกตเห็นว่า เมื่อความเข้มข้นในการดูดซับ H_2SO_4 มากขึ้น ส่งผลให้พื้นที่ผิว Micropore ลดลง ที่เป็นเช่นนี้เนื่องมาจาก การพังทลายของโครงสร้างภายใน ทำให้เกิดการเปลี่ยนสภาพของรูปทรงจาก Micropore ไปเป็น Mesopore มากขึ้น



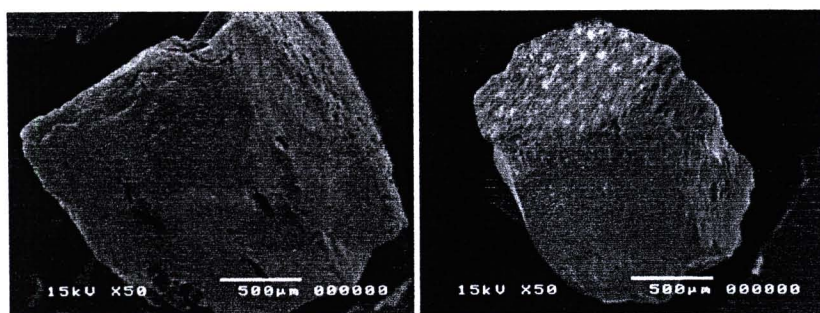
รูปที่ 18 กราฟแสดงการกระจายตัวของรูปทรง ซึ่งเป็นพังก์ชันระหว่างขนาดเส้นผ่านศูนย์กลางรูปทรงเฉลี่ยต่อพื้นที่ผิวรูปทรงของถ่านกัมมันต์ โดยการวัดแบบ multipoint BET



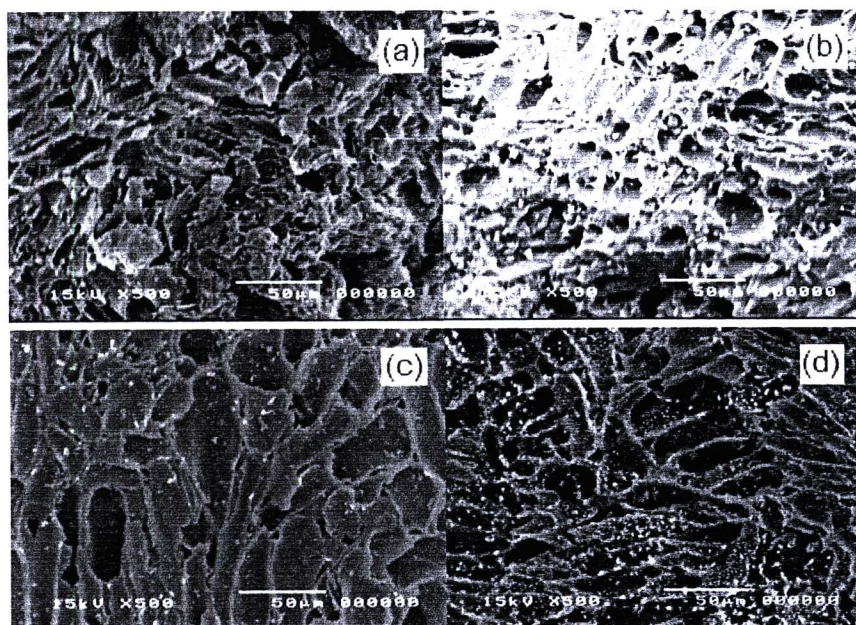
รูปที่ 19 กราฟแสดงการกระจายตัวของรูปทรง ซึ่งเป็นพังก์ชันระหว่างขนาดเส้นผ่านศูนย์กลางรูปทรงเฉลี่ยต่อพื้นที่ผิวรูปทรงของถ่านกัมมันต์ โดยการวัดแบบ multipoint BET ในช่วง 0-20 นาโนเมตร

จากรูปที่ 18 และ 19 แสดงการกระจายตัวของรูพรุนของถ่านกัมมันต์ สังเกตได้ว่าขนาดของรูพรุนมีค่ามากในช่วง 1.8 – 3 นาโนเมตร ซึ่งเป็นรูพรุนขนาดเล็ก หรือ Micropore (< 3 นาโนเมตร) รองลงมาคือรูพรุนที่มีขนาดกลาง หรือ Mesopore ซึ่งมีขนาดรูพรุนไม่มากนักหากเทียบกับ Micropore ส่วนรูพรุนที่มีขนาดเส้นผ่าศูนย์กลางสูงกว่า 50 นาโนเมตร ซึ่งเป็นรูพรุนขนาดใหญ่ หรือ Macropore ถือว่ามีค่าน้อยมาก

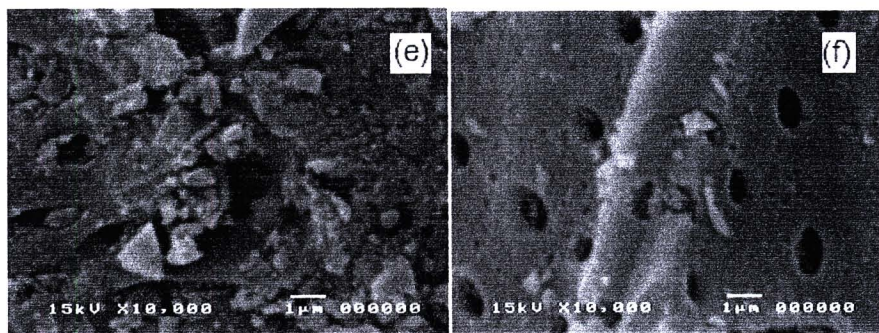
4.1.3 SEM



รูปที่ 20 แสดงโครงสร้างถ่านกัมมันต์ชั้นนอก โดยใช้เทคนิค SEM กำลังขยาย 50 เท่า



รูปที่ 21 แสดงโครงสร้างถ่านกัมมันต์ชั้นนอกที่ผ่านการดูดซับด้วย H_2SO_4 โดยใช้เทคนิค SEM กำลังขยาย 500 เท่า ณ ความเข้มข้นต่างๆ (a) AC, (b) 5% w/w H_2SO_4 /AC (c) 10% w/w H_2SO_4 /AC (d) 20% w/w H_2SO_4 /AC

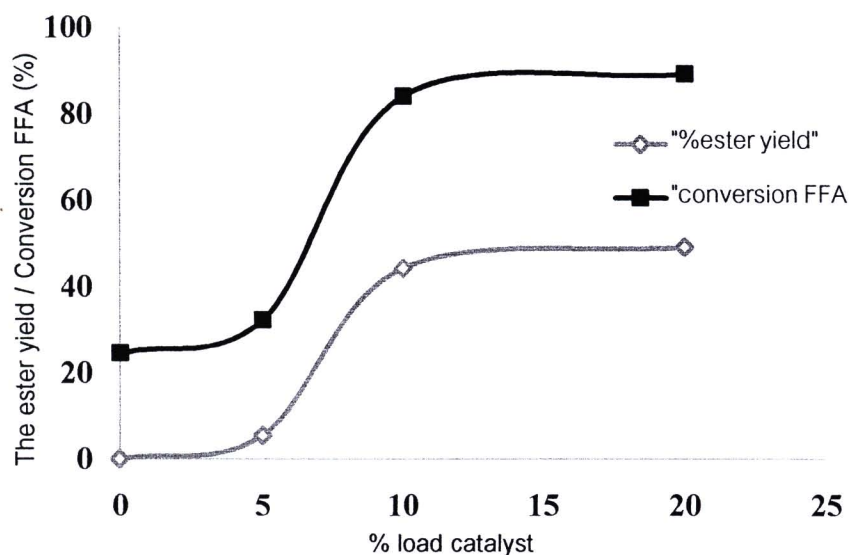


รูปที่ 22 แสดงโครงสร้างผ่านกัมมันต์ชั้นนอกที่ผ่านการดูดซับด้วย H_2SO_4 โดยใช้เทคนิค SEM กำลังขยาย 10,000 เท่า ณ ความเข้มข้นต่างๆ (e) 10% w/w H_2SO_4/AC (f) 20% w/w H_2SO_4/AC

ถ่านกัมมันต์ที่นำมาใช้งานเป็นเม็ดเล็กๆ ขนาด 1-2 มิลลิเมตร (ดังแสดงในรูปที่ 20) ซึ่ง กรดซัลฟิวريكที่โหลดลงบนถ่านกัมมันต์จะมีทั้งที่เกาะติดบนพื้นผิวนอก และถูกดูดซึมเข้าสู่ภายในเม็ดถ่านกัมมันต์ ซึ่งเมื่อนำมาใช้ในปฏิกริยาเอสเทอโรฟิเชชันแล้วสามารถกรองออกได้ง่าย โดยไม่จำเป็นต้องใช้เครื่องเหวี่ยง ซึ่งทำให้สะดวกในการนำมาใช้งานช้า โดยโครงสร้างชั้นนอกของถ่านกัมมันต์แสดงดังรูปที่ 21 เมื่อใช้กำลังขยาย 500 เท่า แสดงให้เห็นถึงโครงสร้างเป็นแบบกราไฟต์ (graphite) นอกจากนี้ ถึงแม้ความเข้มข้นของกรดซัลฟิวريكที่ใช้โหลดลงบนถ่านกัมมันต์ต่างกัน แต่โครงสร้างชั้นนอกก็ยังคงไม่เปลี่ยนแปลง รูปที่ 22 แสดงให้เห็นว่าลักษณะของรูพรุนบนพื้นผิวชั้นนอกส่วนใหญ่เป็นรูพรุนที่มีขนาดกลางหรือ เป็นรูพรุนชนิด Mesopore

4.2 ผลของตัวแปรต่อปฏิกิริยาเอสเทอเรชัน

4.2.1 ผลกระทบจากการเปลี่ยนแปลงความเข้มข้นของสารละลายกรดซัลฟิวเริกที่ถูกดูดซับบนถ่านกัมมันต์

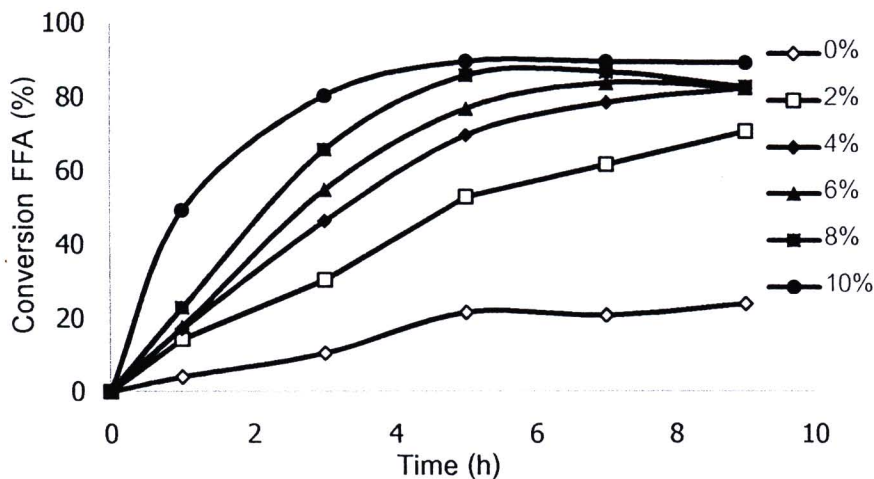


รูปที่ 23 แสดงค่าอัตราการเกิดเอสเทอร์ (The ester yield) และ ค่าการเปลี่ยนแปลงของกรดไขมันอิสระ (conversion FFA) เป็นฟังก์ชันกับความเข้มข้นของสารละลายกรดซัลฟิวเริกที่ถูกดูดซับบนถ่านกัมมันต์ ณ ลักษณะอุณหภูมิในการทำปฏิกิริยา 80°C ปริมาณตัวเร่งปฏิกิริยา 10% w/w ของน้ำมัน อัตราส่วนเชิงโมลของน้ำมันต่อเอทานอล 1:9 ใช้เวลาในการทำปฏิกิริยา 9 ชั่วโมง

รูปที่ 23 แสดงผลการเปลี่ยนแปลงของปริมาณกรดไขมันอิสระและอัตราการเกิดเอทิลเอสเทอเรในกระบวนการเอสเทอเรชันของกรดโอลีอิค ปริมาตร 10 เบอร์เร็นต์โดยนำน้ำหนักของวัตถุดูบตั้งตัน ที่ละลายในน้ำมันปาล์ม จากผลการทดลองสังเกตเห็นว่าค่าการเปลี่ยนแปลงของกรดไขมันอิสระ (conversion FFA) และค่าอัตราการเกิดของเอสเทอร์ (the ester yield) เพิ่มขึ้นเมื่อความเข้มข้นของสารละลายกรดซัลฟิวเริกที่ถูกดูดซับบนถ่านกัมมันต์มีความเข้มข้นเพิ่มขึ้นปฏิกิริยาไม่แน่นอนมเกิดได้ดีขึ้นในช่วงความเข้มข้นตั้งแต่ 0-10 เบอร์เร็นต์โดยนำน้ำหนักของสารละลายกรด โดยการใช้ถ่านกัมมันต์ที่มีการหลดกรดพบว่ามีการดูดซับกรดไขมันอิสระจำนวนหนึ่ง (คิดเทียบเป็นปริมาณ 20% conversion FFA) แต่อย่างไรก็ตามการเพิ่มขึ้นของความเข้มข้นในช่วง 10-20 เบอร์เร็นต์โดยนำน้ำหนักของสารละลายกรด ไม่แสดงให้เห็นถึงความแตกต่าง

ของการเปลี่ยนแปลงของปริมาณกรดไขมันอิสระสูดท้ายและอัตราการเกิดข่องเอทธิลเอสเทอโร่เด่นชัดนัก ซึ่งใกล้เคียงกับงานวิจัยของ Joon และคณะ (2007) ซึ่งใช้เซอร์โคเนียมซัลเฟตในการที่ถูกดูดซับบนถ่านกัมมันต์เป็นตัวเร่งปฏิกิริยาสำหรับเอสเทอโรฟิเคลชันของกรดโอลีอิคโดยใช้บิวทานอลในการทำปฏิกิริยา ณ สภาวะอัตราส่วนเชิงโมลของกรดโอลีอิคต่อบิวทานอลคือ 1:1.2 และปริมาณของตัวเร่งปฏิกิริยา 5% โดยนำหนักของกรดโอลีอิค อุณหภูมิที่ใช้ในการทำปฏิกิริยา 110-120 องศาเซลเซียส งานวิจัยนี้แสดงให้เห็นถึงผลของการเพิ่มขึ้นของสารละลายกรดต่อปฏิกิริยาเอสเทอโรฟิเคลชันโดยค่าการเปลี่ยนแปลงของปริมาณกรดไขมันอิสระเพิ่มขึ้นอย่างรวดเร็ว ในช่วงความเข้มข้น 5% โดยนำหนัก และเพิ่มขึ้นในระดับที่ช้าลงเมื่อความเข้มข้นมากกว่า 10% โดยนำหนัก นอกจากนั้นเมื่อความเข้มข้นสูงกว่า 30% โดยนำหนัก ค่าการเปลี่ยนแปลงของกรดไขมันอิสระ (conversion FFA) กลับมีค่าลดลง ยกตัวอย่างเช่น ที่ความเข้มข้น 5% โดยนำหนักมีค่าการเปลี่ยนแปลงของกรดไขมันอิสระ 84% และมีค่าเพิ่มขึ้นเล็กน้อย 88% ที่ความเข้มข้น 10% โดยนำหนัก จะกระทำการที่ความเข้มข้น 40% โดยนำหนัก ค่าการเปลี่ยนแปลงของกรดไขมันอิสระมีค่าลดลงถึง 85% [6] ซึ่งสามารถอธิบายได้ว่าที่ระดับความเข้มข้นกรดสูงๆ การเปลี่ยนแปลงความเข้มข้นของสารละลายกรดมีได้ส่งผลหลักต่อการเพิ่มขึ้นของค่าสูดท้ายของการเปลี่ยนแปลงของกรดไขมันอิสระ (conversion FFA) สูดท้าย แต่น้ำที่เกิดขึ้นในปฏิกิริยา และปฏิกิริยาข้อนกลับ (ไฮโดรเจนโซดา) กลับมีผลมากกว่าจึงทำให้ค่า conversion FFA มีค่าลดลง

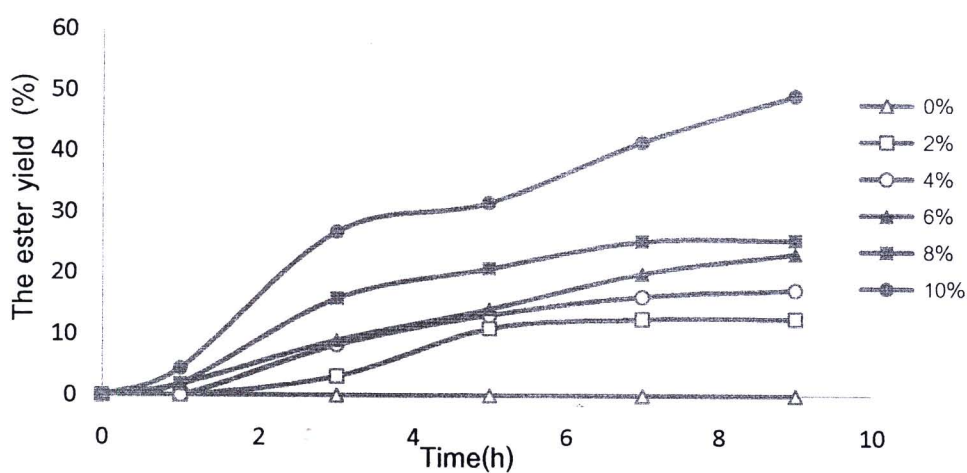
4.2.2 ผลกระทบจากการเปลี่ยนแปลงปริมาณตัวเร่งปฏิกิริยา



รูปที่ 24 แสดงค่าการเปลี่ยนแปลงของกรดไขมันอิสระ (conversion FFA) เป็นฟังก์ชันกับเวลาในการทำปฏิกิริยา เมื่อใช้ปริมาณตัวเร่งปฏิกิริยาต่างๆ ณ สภาพ อุณหภูมิในการทำปฏิกิริยา 80°C ความเข้มข้นของสารละลายกรดซัลฟิวอิก 20% w/w ของสารละลายกรด อัตราส่วนเชิงโมลของน้ำมันต่อเอทานอล 1:9

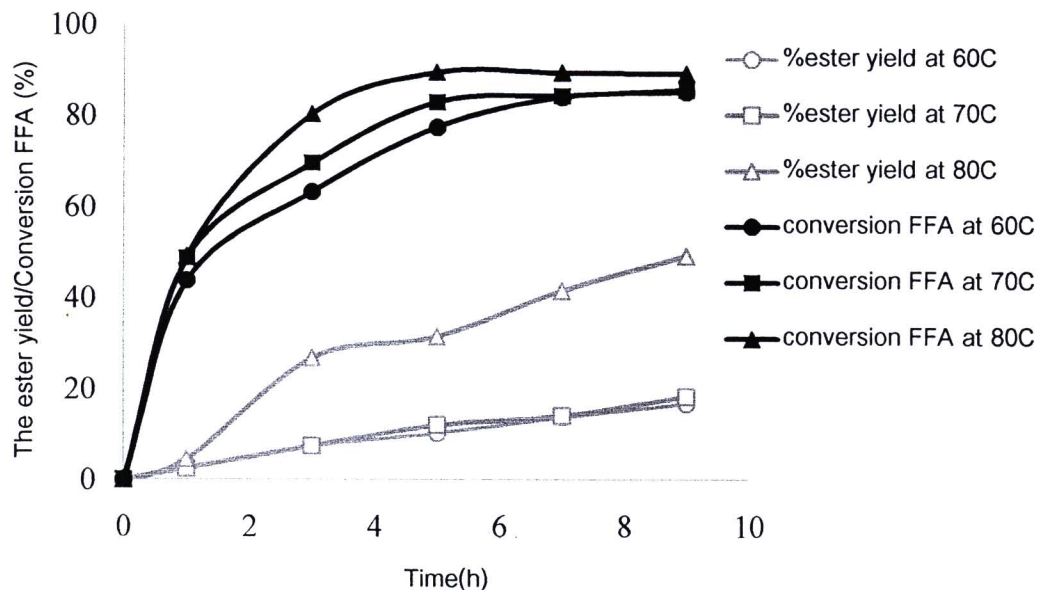
สำหรับกรณีการเปลี่ยนแปลงปริมาณของตัวเร่งปฏิกิริยาที่ส่งผลต่อการลดลงของค่าความเป็นกรดที่ลดลง ณ สภาพอุณหภูมิ 80 องศาเซลเซียส ความเร็วในการกร่อน 300 รอบต่อนาที ที่อัตราส่วนเชิงโมลของแอลกอฮอล์ต่อน้ำมันคือ 9:1 ปริมาตรเริ่มต้นของกรดไขมัน 10% โดยน้ำหนักของวัตถุดิบตั้งต้น ความเข้มข้นของสารละลายกรดซัลฟิวอิกที่ถูกดูดซับบนถ่านกัมมันต์ 20% โดยน้ำหนักของสารละลายกรด ผลการทดลองดังรูปที่ 24 และ 25 แสดงให้เห็นว่าการเพิ่มขึ้นของปริมาณตัวเร่งปฏิกิริยาส่งผลต่อการเพิ่มขึ้นของอัตราการเกิดปฏิกิริยาเริ่มต้น แต่เมื่อได้ส่งผลต่อค่าสุดท้ายของการเปลี่ยนแปลงของกรดไขมันอิสระ (conversion FFA) ของสารตั้งต้นที่เวลา 9 ชั่วโมงมากนัก เนื่องจาก เมื่อใช้ปริมาณตัวเร่งปฏิกิริยาในช่วง 4-8% w/w โดยน้ำหนักน้ำมัน ณ สภาพเดียวกัน ให้ค่าสุดท้ายของการเปลี่ยนแปลงของกรดไขมันอิสระที่เวลา 9 ชั่วโมง ค่าเดียวกัน แต่การเพิ่มขึ้นของปริมาณตัวเร่งปฏิกิริยาส่งผลต่อการเพิ่มขึ้นของปริมาณเอทิลเอสเทอร์ซึ่งเป็นสารผลิตภัณฑ์เนื้องจากพบว่าหลังจากปฏิกิริยาเอสเทอโรฟิเคลชันเข้าสู่สมดุลแล้วค่าผลได้ของเอสเทอร์ยังมีค่าเพิ่มขึ้นเนื่องจากปฏิกิริยาทวนส์เอสเทอโรฟิเคลชันด้วยกรด ซึ่งเกิดขึ้นค่อนข้างช้าเมื่อเทียบ

กับปฏิกิริยาเอสเทอ蕊ฟิเคชัน ถ้าพิจารณาถึงความสามารถในการลดกรดไขมันอิสระในน้ำมันพบว่าการเพิ่มปริมาณตัวเร่งปฏิกิริยามีได้มีผลกระแทบมากนักต่อปฏิกิริยา และไม่ถือว่าเป็นตัวแปรหลักที่ส่งผลกระทบต่อค่าสุดท้ายของการเปลี่ยนแปลงของกรดไขมันอิสระของสารตั้งต้น งานวิจัยที่มีผลคล้ายคลึงกัน ดังเช่น Marchetti และคณะ(2008) ได้ใช้กรดซัลฟิวริกในกระบวนการเอสเทอ蕊ฟิเคชันของน้ำมันเมล็ดทานตะวันที่ปรับสภาพแล้วซึ่งละลายด้วยกรดโซเดียมบริสุทธิ์ทำปฏิกิริยา กับเอทานอล ณ สภาพอัตราส่วนเชิงโมลาร์ของแอลกอฮอล์ต่อน้ำมันที่มีความเป็นกรด-6.124:1 อุณหภูมิที่ใช้ในการทำปฏิกิริยา 45 องศาเซลเซียส กรดไขมันอิสระ 10.68% และความเร็วตอบในกระบวนการ 200 รอบต่อนาที ซึ่งงานวิจัยแสดงให้เห็นว่าปฏิกิริยามีค่าสูงขึ้นเมื่อปริมาณตัวเร่งปฏิกิริยาเพิ่มขึ้น ซึ่งมีผลกระทบอย่างมากต่ออัตราการทำปฏิกิริยาเริ่มต้น (the initial reaction rate) ปริมาณของตัวเร่งปฏิกิริยามีได้ส่งผลต่อค่าการเปลี่ยนแปลงของกรดไขมันอิสระสุดท้าย (the final conversion FFA) เนื่องจากในงานวิจัยได้ใช้ปริมาณตัวเร่งปฏิกิริยาที่แตกต่างกัน 1.03 2.26 และ 5.14% โดยน้ำหนักของน้ำมัน แต่ให้ค่าการเปลี่ยนแปลงของกรดไขมันอิสระสุดท้ายมีค่าเดียวกัน [27]



รูปที่ 25 แสดงค่าอัตราการเกิดเอสเทอร์ (The ester yield) เป็นพังก์ชันกับเวลาในการทำปฏิกิริยา เมื่อใช้ปริมาณตัวเร่งปฏิกิริยาต่างๆ ณ สภาพ อุณหภูมิในการทำปฏิกิริยา 80°C ความเข้มข้นของสารละลายกรดซัลฟิวริก 20%w/w ของสารละลายกรด อัตราส่วนเชิงโมลของน้ำมันต่อเอทานอล 1:9

4.2.4 ผลกระทบจากการเปลี่ยนแปลงอุณหภูมิที่ใช้ในการทำปฏิกิริยา



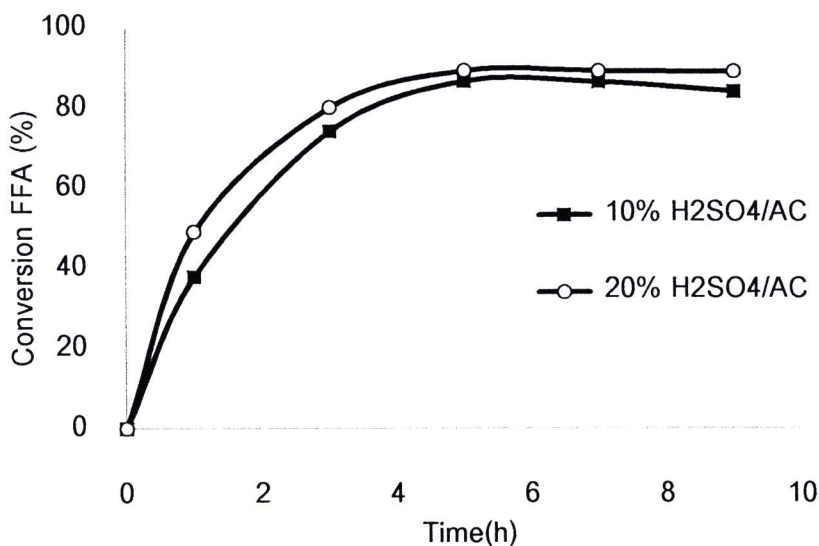
รูปที่ 26 แสดงค่าอัตราการเกิดเอสเทอร์ (The ester yield) และ ค่าการเปลี่ยนแปลงของกรดไขมันอิสระ (conversion FFA) เป็นฟังก์ชันกับเวลาในการทำปฏิกิริยา เมื่อใช้อุณหภูมิในการทำปฏิกิริยาต่างๆ ณ สภาพปริมาณของตัวเร่งปฏิกิริยา 10%w/w ของน้ำมัน ความเข้มข้นของสารละลายกรดซัลฟิวริก 20%w/w ของสารละลายกรด อัตราส่วนเชิงโมลของน้ำมันต่อเอทานอล 1:9

ผลของอุณหภูมิที่ใช้ในการทำปฏิกิริยาต่อปฏิกิริยาเอสเทอริฟิเดชันแสดงดังรูปที่ 26 อุณหภูมิที่ใช้ในการทำปฏิกิริยาถือเป็นตัวแปรหลักตัวหนึ่งที่ส่งผลต่อค่าความสามารถในการเร่งปฏิกิริยาของตัวเร่งปฏิกิริยาของแข็งซึ่งมีฤทธิ์เป็นกรด อุณหภูมิในการทำปฏิกิริยา 60 70 และ 80 องศาเซลเซียส ถูกใช้ ณ สภาวะการทดลองเดียวกัน ความเร็วรอบ 300 รอบต่อนาที อัตราส่วนเชิงโมลของแอลกอฮอล์ต่อน้ำมัน 9:1 ปริมาณตัวเร่งปฏิกิริยา 10% โดยน้ำหนัก และปริมาณกรดโอลิอิค 10%โดยน้ำหนักของวัตถุดิบตั้งต้นละลายในน้ำมันปาล์ม จากผลการทดลองปรากฏว่าปฏิกิริยา ณ อุณหภูมิ 60 องศาเซลเซียส เกิดเอทิลเอสเทอร์ในอัตราส่วนเพียง 16.8% และมีค่าการเปลี่ยนแปลงของกรดไขมันอิสระ 85.1% ในขณะที่เมื่อเพิ่มอุณหภูมิในการทำปฏิกิริยาในการทดลองเป็น 80 องศาเซลเซียส ค่าอัตราการเกิดของเอสเทอร์เพิ่มสูงขึ้นถึง 49.2% และค่าการเปลี่ยนแปลงของกรดไขมันอิสระเพิ่มถึง 89.2% ซึ่งแสดงให้เห็นว่าค่าความสามารถในการเกิดปฏิกิริยาและอัตราการเกิดปฏิกิริยาเพิ่มขึ้นเมื่ออุณหภูมิเพิ่มขึ้น ส่งผลให้ค่าการเปลี่ยนแปลง

ของกรดไขมันอิสระ และค่าผลได้ของเอสเทอร์ที่เกิดขึ้นมีค่าเพิ่มขึ้นด้วย จากกราฟแสดงการเปลี่ยนแปลงของกรดไขมันอิสระ (conversion FFA) ในรูปที่ 26 พบว่า อัตราการเกิดปฏิกิริยาเริ่มต้น (initial reaction rate) ในช่วง 1 ชั่วโมงแรกของค่อนข้างใกล้เคียงกัน เนื่องจากกรดลดลงของกรดไขมันอิสระในระบบในช่วงแรกนี้ส่วนใหญ่เกิดจากการดูดซับบนผ่านกัมมันต์ จากนั้นระหว่างการทำปฏิกิริยา 1-7 ชั่วโมง อัตราการลดลงของ FFA จึงมีค่าต่างกันขึ้นอยู่กับอุณหภูมิที่ควบคุม แสดงว่าความแตกต่างของอุณหภูมิส่งผลให้อัตราการเกิดปฏิกิริยาที่แตกต่างกันโดยค่า conversion FFA จะเพิ่มขึ้นตามอุณหภูมิซึ่งแสดงให้เห็นว่าปฏิกิริยามีพัฒนาระบบที่เป็นปฏิกิริยาดูดความร้อน (endothermic behavior) งานวิจัยซึ่งมีผลลัพธ์คล้องกับข้อสรุปดังกล่าว คือ GAN และคณะ(2009) ได้ใช้ $\text{Fe}_2(\text{SO}_4)_3/\text{C}$ เป็นตัวเร่งปฏิกิริยา สำหรับปฏิกิริยาเอสเทอโรฟิเดชันของกรดไขมันอิสระ ในน้ำมันเหลืองจากการทำอาหาร ณ สภาพอัตราส่วนเชิงโมลของเมทานอลต่อกรดไขมันอิสระ คือ 18:1 เวลาในการทำปฏิกิริยา 3 ชั่วโมง ปริมาณของตัวเร่งปฏิกิริยา 3.5% ณ อุณหภูมิในการทำปฏิกิริยา 338.2 348.2 358.2 และ 368.2 องศาเคลวิน ซึ่งผลจากการวิจัยแสดงให้เห็นว่า อุณหภูมิที่ใช้ในการทำปฏิกิริยาเป็นหนึ่งในปัจจัยที่มีอิทธิพลต่ออัตราการเกิดปฏิกิริยาเอสเทอโรฟิเดชัน (the ester yield) และค่าการเปลี่ยนแปลงของกรดไขมันอิสระ (conversion FFA) ทั้งนี้อัตราการทำปฏิกิริยามีค่าเพิ่มขึ้นอย่างรวดเร็วเมื่ออุณหภูมิในการทดลองเพิ่มขึ้น เช่น ค่าการเปลี่ยนแปลงของกรดไขมันอิสระเพิ่มขึ้นจาก $\approx 80\%$ ณ 338.2 องศาเคลวิน เป็น 98% เมื่อทำปฏิกิริยาที่ 368.2 องศาเคลวิน [7] Lianhua และคณะ (2010) ใช้เรซิน (ion exchange resin) สำหรับปฏิกิริยาเอสเทอโรฟิเดชันของน้ำมันมะญา (tung oil) กับ เอทานอล ณ อุณหภูมิต่างๆ (40 50 และ 60 องศาเซลเซียส) และความเร็วสเปช (0.029 0.25 และ 0.37 ต่อชั่วโมง) ซึ่งแสดงให้เห็นว่า เมื่ออุณหภูมิที่ใช้ในการปฏิกิริยาสูงขึ้นจะทำให้ค่าความเป็นกรด (acid value) ลดลงมากขึ้น และประสิทธิภาพในการลดค่าความเป็นกรดสูงขึ้น เช่น ประสิทธิภาพในการเปลี่ยนแปลงของกรดไขมันอิสระ (conversion efficiency) มีค่าเพียง 29.07% ที่ 40 องศาเซลเซียส โดยสามารถลดค่าความเป็นกรดได้ถึง 5.05 มิลลิกรัม KOH ต่อ กรัม หากเมื่ออุณหภูมิเพิ่มสูงขึ้นถึง 65 องศาเซลเซียส ค่าความเป็นกรดของน้ำมันสามารถลดลง 1.4 มิลลิกรัม KOH ต่อกรัม และประสิทธิภาพในการลดค่าความเป็นกรด (conversion FFA) มีค่าสูงถึง 80.34% ซึ่งเห็นได้ว่าค่าความสามารถในการเกิดปฏิกิริยาและอัตราการเกิดปฏิกิริยามีค่าสูงขึ้นเมื่ออุณหภูมิเพิ่มขึ้น และส่งผลให้

ประสิทธิภาพในการลดค่ากรดไฮมันอิสระของสารตั้งต้นเพิ่มขึ้นด้วย โดยอุณหภูมิที่เหมาะสมในการทำปฏิกิริยาเอสเทอโรฟิเคนนควรมีค่าใกล้เคียงกับจุดเดือดของแอลกอฮอล์เพื่อหลีกเลี่ยงการสูญเสียแอลกอฮอล์โดยใช้เหตุและพลังงานที่สูญเปล่า [29]

4.2.4 ผลกระทบจากเวลาที่ใช้ในการทำปฏิกิริยา

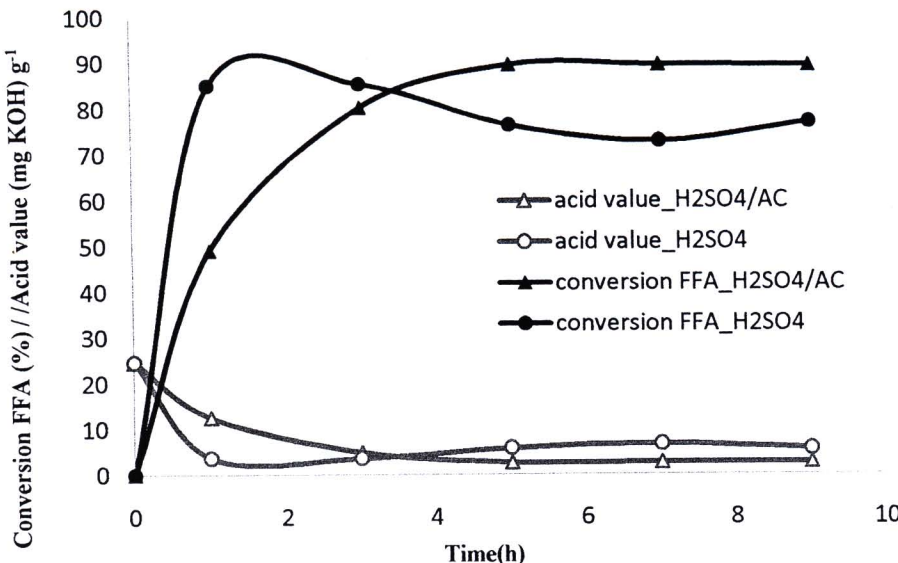


รูปที่ 27 แสดงค่าการเปลี่ยนแปลงของกรดไฮมันอิสระ (conversion FFA) เป็นฟังก์ชันกับเวลาเมื่อใช้ความเข้มข้นของสารละลายกรดชัลฟิวเริที่ถูกดูดซับบนถ่านกัมมันต์ 10% และ 20% w/w ของสารละลายกรด ณ สภาพ อุณหภูมิในการทำปฏิกิริยา 80°C ปริมาณตัวเร่งปฏิกิริยา 10% w/w ของน้ำมัน อัตราส่วนเชิงโมลของน้ำมันต่อเอทานอล 1:9

จากรูปที่ 27 พบร่วงกรดไฮมันอิสระในน้ำปาล์มง่ายต่อการทำปฏิกิริยากับกับเอทานอล ภายใน 5 ชั่วโมงแรกของการทำปฏิกิริยาโดยค่าการเปลี่ยนแปลงของกรดไฮมันอิสระเพิ่มขึ้นอย่างรวดเร็วจาก 0 ถึง 86.8% ณ ความเข้มข้นของสารละลายกรดที่ดูดซับบนถ่านกัมมันต์ 10% โดยน้ำหนักของสารละลายกรด และที่ 20% โดยน้ำหนักของสารละลายกรดมีค่าเพิ่มขึ้นจาก 0 จนถึง 89.5% หากแต่เมื่อเวลาในการทำปฏิกิริยาในช่วงเวลาจาก 5 ถึง 9 ชั่วโมง อัตราการทำปฏิกิริยา เอสเทอโรฟิเคนนค่อยๆ มีค่าลดลง แสดงว่าเวลาในการทำปฏิกิริยาที่เพิ่มขึ้นหลังจาก 5 ชั่วโมง ไม่มีผลต่อการลดลงของค่าความเป็นกรดของสารตั้งต้น ซึ่งอาจจะมาจากปฏิกิริยาเข้าสู่สภาวะสมดุล และ/หรือเป็นผลเนื่องมาจากการที่เกิดขึ้นระหว่างปฏิกิริยาเอสเทอโรฟิเคนนของกรดไฮมันอิสระซึ่งจะไปยับยั้งการเกิดปฏิกิริยาที่จะเกิดขึ้นต่อไป Pisarello และคณะ (2010) ศึกษาจนพลศัสดร์และ

วิเคราะห์ปฏิกิริยาลำดับที่สอง (ปฏิกิริยาไฮโดรไอลิซิส) ของปฏิกิริยาเอสเทอโรฟิเคลชันมีผลสำคัญอย่างมากระหว่างปฏิกิริยาเอสเทอโรฟิเคลชันของกรดไขมันอิสระที่อยู่ในรูปไตรกลีเซอไรด์ ผลงานวิจัยแสดงให้ปฏิกิริยาเกิดขึ้นจนถึงเวลาซึ่งระยะเวลาหนึ่ง จะมีน้ำซึ่งเกิดจากปฏิกิริยาเอสเทอโรฟิเคลชัน ซึ่งจะเข้าไปละลายทำให้ความเข้มข้นของกรดที่ใช้ในการทำปฏิกิริยาลดลง และค่าคงที่ทางจลนพลศาสตร์มีค่าขึ้นอยู่กับความเข้มข้นของสารละลายกรดที่ใช้เป็นตัวเร่งปฏิกิริยาทำให้ค่าคงที่ทางจลนพลศาสตร์ของปฏิกิริยาเอสเทอโรฟิเคลชันลดลงเมื่อความเข้มข้นของสารละลายกรดเจือจางลง นอกจากนี้ตัวแปรอื่นที่สามารถอธิบายการลดลงของอัตราการเกิดปฏิกิริยาเอสเทอโรฟิเคลชันเมื่อเวลาผ่านไปได้ว่า กรดซัลฟิวริกมีด้านของกรดเป็นชนิดบอรอนสเตรต สำหรับเร่งปฏิกิริยา ซึ่งโดยธรรมชาติต้านที่เป็นกรดนี้มีผลต่อความอ่อนไหวต่อน้ำของกรดซัลฟิวริก [1] Dora และคณะ (2008) แสดงให้เห็นว่าด้านของกรดที่เป็นบอรอนสเตรตมีผลสำคัญอย่างมากต่อการเร่งปฏิกิริยาเอสเทอโรฟิเคลชัน โดยน้ำมีความสำคัญต่อการสูญเสียความว่องไวของตัวเร่งปฏิกิริยาทั้งนี้ด้านบอรอนสเตรตสามารถเกิดปฏิกิริยาไฮเดรชันบนพื้นผิวของตัวเร่งปฏิกิริยาหลังการแคลไทร์จากไอน้ำที่เกิดขึ้นระหว่างขั้นตอนการลดอุณหภูมิ นอกจากนี้ผลกระทบอื่นๆ ก็คือปฏิกิริยาไฮโดรไฮเดรชิส-ปฏิกิริยาเอสเทอโรฟิเคลชัน ที่ใช้กรดเป็นตัวเร่งปฏิกิริยา โดยปฏิกิริยาของไตรกลีเซอไรด์กับน้ำซึ่งเกิดจากการฟอร์มตัวของปฏิกิริยาไฮโดรไอลิซิส (hydrolysis) ทำให้เกิดกรดไขมันอิสระ และปฏิกิริยาระหว่างกรดไขมันอิสระกับแอลกอฮอล์ (เอสเทอโรฟิเคลชัน) จะเกิดขึ้นไปพร้อมกับการเกิดปฏิกิริยาระหว่างไตรกลีเซอไรด์กับแอลกอฮอล์ (ทรานส์เอสเทอโรฟิเคลชัน) อย่างไรก็ตามในกรณีการใช้ตัวเร่งปฏิกิริยาของแข็งที่มีฤทธิ์เป็นกรดพบว่า อัตราการเกิดปฏิกิริยาทรานส์เอสเทอโรฟิเคลชันจะมีค่าต่ำกว่ามากเมื่อเปรียบเทียบกับปฏิกิริยาเอสเทอโรฟิเคลชัน [4]

4.2.5 ผลการเปรียบเทียบระหว่างตัวเร่งปฏิกิริยาที่ใช้กับไม่ใช้ตัวรองรับ



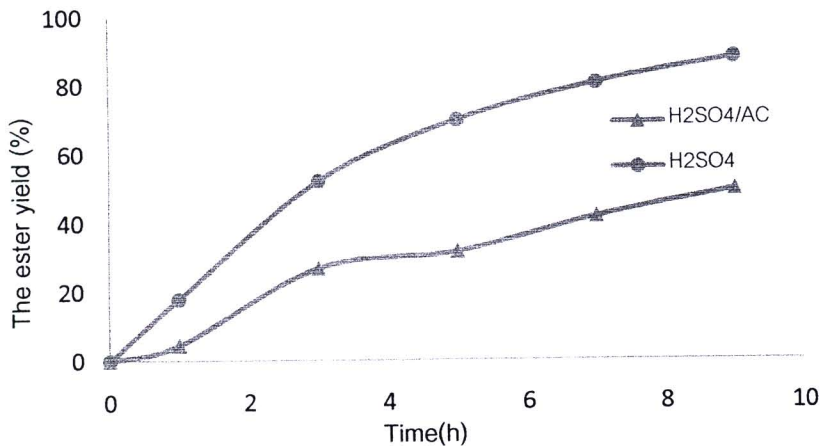
รูปที่ 28 แสดงค่าการเปลี่ยนแปลงของกรดไขมันอิสระ (conversion FFA) และค่าความเป็นกรด (Acid value) เป็นฟังก์ชันกับเวลา เมื่อใช้ตัวเร่งปฏิกิริยา H_2SO_4 และ H_2SO_4/AC (อิงตามความเข้มข้นของสารละลายกรดซัลฟิว蕊กที่ถูกดูดซับบนถ่านกัมมันต์ 20% w/w ของสารละลายกรด) ณ สถานะ อุณหภูมิในการทำปฏิกิริยา 80°C ปริมาณตัวเร่งปฏิกิริยา 10% w/w ของน้ำมัน อัตราส่วนเชิงโมลของน้ำมันต่อเอทานอล 1:9

จากการทดลองแสดงให้เห็นว่าปฏิกิริยาซึ่งใช้กรดซัลฟิว蕊ก (H_2SO_4) ในการเร่งปฏิกิริยา เอสเทอโรฟิเคชันสามารถลดค่าความเป็นกรดของสารตั้งต้นได้เร็วกว่าตัวเร่งปฏิกิริยาซัลฟิว蕊กที่ถูกดูดซับลงบนถ่านกัมมันต์ โดยเฉพาะในช่วงแรกของการทำปฏิกิริยา (1-2 ชั่วโมง) และปฏิกิริยา เอสเทอโรฟิเคชันโดยใช้ตัวเร่งปฏิกิริยาของแข็ง (H_2SO_4/AC) ใช้เวลาในการทำปฏิกิริยานานกว่า เพื่อให้ค่าการเปลี่ยนแปลงของกรดไขมันอิสระมีค่าเดียวกันเมื่อใช้ตัวเร่งปฏิกิริยาที่ไม่ใช้ตัวรองรับ (H_2SO_4) ในการทำปฏิกิริยา แต่อย่างไรก็ตามค่า conversion FFA ที่มากที่สุดของทั้งกระบวนการ มีค่าใกล้เคียงกัน นอกจากนี้ตัวเร่งปฏิกิริยา H_2SO_4/AC สามารถนำมาใช้ซ้ำได้หลายครั้ง ในขณะที่ ตัวเร่งปฏิกิริยาที่ไม่ใช้ตัวรองรับสามารถใช้เร่งปฏิกิริยาได้เพียงแค่ครั้งเดียว ซึ่งงานวิจัยที่มีความ สอดคล้องกับการทำทดลองดังกล่าว เมื่อ Joon และคณะ(2007) ได้ใช้เซอร์โคเนียมซัลเฟตที่ถูกดูดซับลงบนถ่านกัมมันต์เพื่อใช้เป็นตัวเร่งปฏิกิริยาในการทำปฏิกิริยาเอสเทอโรฟิเคชันของกรดโอลิคกับ

บิวทานอล ณ สภาวะอัตราส่วนเชิงโมลของกรดโอลิคต่อบิวทานอลคือ 1:1.2 และปริมาณของตัวเร่งปฏิกิริยา 5% โดยน้ำหนักของกรดโอลิค อุณหภูมิที่ใช้ในการทำปฏิกิริยา 110-120 องศาเซลเซียส ซึ่งผลวิจัยแสดงให้เห็นว่า ZS/AC มีข้อดีกว่า ZS ในเทอมของความถี่ของการนำกลับมาใช้ได้หลายครั้ง โดย 10% ZS/AC สามารถนำมาใช้ซ้ำได้ถึง 10 ครั้ง โดยพบว่า ZS มีการกระจายตัวที่ดีบนผ่านกัมมันต์ ส่งผลให้มีค่าความสามารถในการเกิดปฏิกิริยาที่สูง [6]

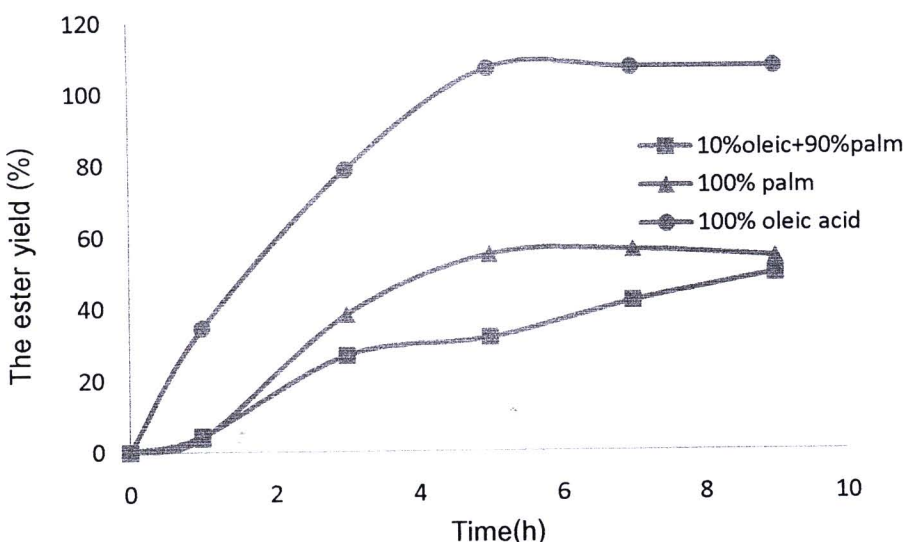
นอกจากนี้ จากรูปที่ 28 สรุปได้ว่า ปฏิกิริยาที่ใช้กรดชัลฟิวริกมีความสามารถในการเกิดปฏิกิริยain ในช่วงแรกของปฏิกิริยา (\approx 1.5 ชั่วโมง) หลังจากนั้นมีค่าลดลง เนื่องมาจากปฏิกิริยาเข้าสู่สมดุลและผลกระทบจากน้ำที่เกิดขึ้น ในขณะที่ H_2SO_4/AC เข้าสู่สมดุลเมื่อเวลาผ่านไป 5 ชั่วโมง ซึ่งค่าการเปลี่ยนแปลงของกรดไขมันอิสระ (conversion FFA) สูงสุดของตัวเร่งปฏิกิริยาทั้งสองเมื่อเวลาผ่านไป 9 ชั่วโมง H_2SO_4/AC มีค่า conversion FFA สูงกว่า H_2SO_4 (liq) ที่เวลาเดียวกัน

จากรูปที่ 29 อัตราการเกิดเอทิลเอสเทอร์โดยใช้ตัวเร่งปฏิกิริยา H_2SO_4 (liq) ณ เวลา 1.5 ชั่วโมง ซึ่งเป็นเวลาที่ปฏิกิริยาเอสเทอโรฟิเคลชันเข้าสู่สมดุลมีค่าใกล้เคียงกับอัตราการเกิดเอทิลเอสเทอร์ของ H_2SO_4/AC ณ เวลา 5 ชั่วโมง ซึ่งคาดว่าเป็นเวลาที่ปฏิกิริยาเอสเทอโรฟิเคลชันเข้าสู่สมดุล เช่นเดียวกัน หลังจากนั้นการเกิดเอทิลเอสเทอร์ต่อมากาดว่าจะเนื่องมาจากปฏิกิริยาทวนส์ เอสเทอโรฟิเคลชันด้วยกรด โดยมีอัตราการเกิดเอสเทอร์ของปฏิกิริยาทวนส์เอสเทอโรฟิเคลชันใกล้เคียงกัน เพียงแต่ว่า การเข้าสู่สมดุลของ H_2SO_4/AC ใช้เวลานานกว่า H_2SO_4 โดยอัตราการเกิดเอทิลเอสเทอร์ ณ เวลา 5-9 ชั่วโมง (แสดงวิธีการคำนวณในภาคผนวก ค-4) แสดงให้เห็นว่าอัตราการเกิดเอสเทอร์ของปฏิกิริยาทวนส์เอสเทอโรฟิเคลชันด้วยกรดของตัวเร่งปฏิกิริยาทั้งสองมีค่าใกล้เคียงกัน ($H_2SO_4 - 3.66 \times 10^{-7}$ mol/s·l, $H_2SO_4/AC - 3.44 \times 10^{-7}$ mol/s·l) Pisarello และคณะ (2010) ได้แสดงเหตุผลที่สอดคล้องกับผลการวิจัยข้างต้นว่า เมื่อปริมาณเอสเทอร์เกิดการฟอร์มตัวจนถึงค่าคงที่ค่าหนึ่ง อันเนื่องมาจากการเข้าสู่สมดุล (effectively equilibrium limited) จานนั้นปริมาณเอสเทอร์ยังคงเพิ่มขึ้นได้เนื่องมาจากการเข้าสู่สมดุล (effectively equilibrium limited) รวมอยู่ด้วย [1]



รูปที่ 29 แสดงค่าอัตราการเกิด酇เทอร์ (The ester yield) เป็นฟังก์ชันกับเวลา เมื่อใช้ตัวเร่งปฏิกิริยา H_2SO_4 และ $\text{H}_2\text{SO}_4/\text{AC}$ (อิงตามความเข้มข้นของสารละลายน้ำมันที่ถูกดูดซึบบนผ่านกัมมันต์ 20% w/w ของสารละลายน้ำมัน) ณ สภาพ อุณหภูมิในการทำปฏิกิริยา 80°C ปริมาณตัวเร่งปฏิกิริยา 10% w/w ของน้ำมัน อัตราส่วนเชิงโมลของน้ำมันต่อเอทานอล 1:9

4.2.6 ผลกระทบจากปริมาณกรดไขมันอิสระเริ่มต้นที่ใช้ในการทำปฏิกิริยา



รูปที่ 30 แสดงค่าอัตราการเกิด酇เทอร์ (The ester yield) เป็นฟังก์ชันกับเวลาในการทำปฏิกิริยา เมื่อใช้น้ำมัน ตั้งต้นต่างๆ (10%w/w oleic acid +90%w/w palm oil, 100%w/w palm oil, 100%w/w oleic acid) ณ สภาพ อุณหภูมิในการทำปฏิกิริยา 80°C ปริมาณของตัวเร่งปฏิกิริยา 10%w/w ของน้ำมัน ความเข้มข้นของสารละลายกรดชัลฟิวริก 20%w/w ของสารละลายน้ำมันต่อเอทานอล 1:9

จากการทดลองดังรูปที่ 30 ซึ่งแสดงผลการทดลองการเกิดปฏิกิริยาเอสเทอโรฟิเคชัน ณ สภาวะการทดลองเดียวกัน แต่ต่างกันตรงปริมาณกรดไขมันอิสระเริ่มต้นที่เติมเข้าไป พบร่วมเมื่อเปรียบเทียบในส่วนของอัตราการเกิดเอสเทอโรเมื่อใช้สารตั้งต้นเป็นกรดโอลิคบริสุทธิ์ มีค่าเพิ่มขึ้นถึง 107.0% (คิดเป็นค่าการเกิดปฏิกิริยาของกรดไขมัน = 96.6%) ในขณะที่ใช้สารตั้งต้นเป็น 10% โดยน้ำหนัก ของกรดโอลิคละลายน้ำมันปาล์ม กลับได้อัตราการเกิดเอสเทอโรเพียง 49.2% แสดงให้เห็นว่าเมื่อปริมาณกรดไขมันอิสระ (กรดโอลิค) เพิ่มขึ้น อัตราการเกิดเอสเทอโรเพิ่มขึ้นด้วย แต่หากพิจารณาในแง่ของประสิทธิภาพของตัวเร่งปฏิกิริยาในการลดค่าความเป็นกรดของวัตถุดิบตั้งต้น พบร่วมจากการเปลี่ยนแปลงในส่วนของกรดไขมันอิสระ (conversion FFA) มีค่าแตกต่างกันไม่มากนักดังแสดงในตารางที่ 15 แสดงให้เห็นว่าปริมาณของกรดไขมันอิสระ มีได้มีอิทธิพลต่อการเปลี่ยนแปลงประสิทธิภาพในการลดค่าความเป็นกรด (conversion FFA) มากนักซึ่งการทดลองมีผลสอดคล้องกับผลงานวิจัยของ Marchetti และคณะ (2007) ที่ใช้กรดซัลฟิวริกสำหรับปฏิกิริยาเอสเทอโรฟิเคชันของ 10% กรดโอลิคและ 90% น้ำมันทานตะวันที่ปรับปรุงคุณภาพแล้วกับอุณหภูมิที่ใช้ถูกตั้งไว้ 45 องศาเซลเซียส อัตราส่วนเจิงเมลาร์ของ例外กอร์ส์ต่อน้ำมัน 6.128:1 โดยใช้ปริมาณตัวเร่งปฏิกิริยา 2.267% จำนวนรอบในการกวนผสม 200 รอบต่อนาที ที่ปริมาณกรดไขมันอิสระแตกต่างกัน (2.81%, 9.94% และ 27.22% ซึ่งผลของงานวิจัยแสดงให้เห็นว่าเมื่อปริมาณของกรดไขมันอิสระเพิ่มขึ้น มีผลทำให้อัตราการเกิดปฏิกิริยาเริ่มต้นเพิ่มขึ้น แต่มีค่าการเปลี่ยนแปลงของกรดไขมันอิสระสุดท้ายส่วนใหญ่มีค่าเดียวกัน เช่นเดียวกัน [3]

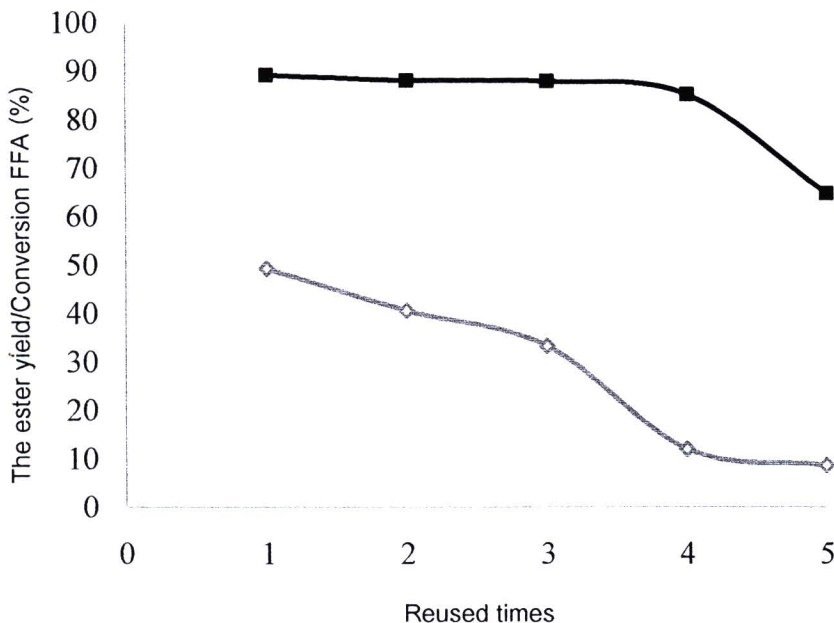
สำหรับกรณีการเปรียบเทียบอัตราการเกิดเอทิลเอสเทอโรจากปฏิกิริยาเอสเทอโรฟิเคชัน ระหว่างใช้วัตถุดิบตั้งต้นเป็นน้ำมันปาล์มที่ปรับปรุงคุณภาพแล้วเพียงอย่างเดียว กับเมื่อมีการผสมกรดไขมันอิสระ (กรดโอลิค) ลงไป 10% โดยน้ำหนักของวัตถุดิบตั้งต้น จากรูปที่ 30 และตารางที่ 15 พบร่วม ในช่วงต้นของการทำปฏิกิริยา (≈ 1 ชั่วโมง) อัตราการเกิดเอสเทอโรของวัตถุดิบที่ผสมกรดไขมันอิสระลงไปมีค่าสูงกว่าเล็กน้อย อาจจะเนื่องมาจากอัตราการเกิดปฏิกิริยาเอสเทอโรฟิเคชันมีค่าสูงกว่าอัตราการเกิดปฏิกิริยาการเกิดทรานส์เอสเทอโรฟิเคชันด้วยกรด หากแต่หลังจากนั้นอัตราการเกิดเอทิลเอสเทอโรของปฏิกิริยาที่ใช้น้ำมันปาล์มอย่างเดียวมีค่าสูงกว่าเนื่องมาจากการได้รับ

ผลกระทบจากน้ำที่เกิดขึ้น ในระหว่างทำปฏิกริยาเօสເທອຣີເຄື່ນ ແຕ່ຍ່າງໄຮກ້ຕາມເນື່ອເວລາໃນການ
ທຳປັບປຸງຢາຜ່ານໄປ 9 ຊົ່ວໂມງ ປຣາກງວ່າຄ່າອັດຮາກຮາກເກີດເຂົ້າສົ່ງເຫຼືອກັບມີຄ່າໄກລ້າເດືອນກັນ ຂັ້ນ
ເນື່ອມາຈາກກາຮັກທຳປັບປຸງຢາທຣານສົ່ງເຫຼືອກັບມີເນື່ອເວລາໃນກາຮັກໂດລອງຜ່ານໄປ 5-6 ຊົ່ວໂມງ
ປັບປຸງຢາເຮີມເຂົ້າສູ່ສົມດຸລແລະອາຈາກເກີດປັບປຸງຢາຍືນກັບເກີດຂຶ້ນ ຜຶ່ງມີຜລທຳໃຫ້ອັດຮາກຮາກເກີດເຂົ້າສົ່ງ
ມີຄ່າລັດລົງ ໃນຂະນະເນື່ອໃໝ່ວັດຖຸດົບຕັ້ງຕົ້ນທີ່ມີກາຮັກຜສມກຮດໄຂມັນອີສະຮະລົງໄປ ເນື່ອເວລາໃນກາຮັກທຳ
ປັບປຸງຢາຜ່ານໄປ 5 ຊົ່ວໂມງ ຜຶ່ງຄາດວ່າປັບປຸງຢາເຂົ້າສົ່ງເຫຼືອກັບມີຄ່າສົມດຸລ ແຕ່ຄ່າກາຮັກເກີດເຂົ້າສົ່ງ
ຍັງມີຄ່າສູ່ງຂຶ້ນອາຈະເນື່ອມາຈາກປັບປຸງຢາທຣານສົ່ງເຫຼືອກັບມີຄ່າດ້ວຍກຮດຕ່ອໄປ ຈຶ່ງທຳໄໝ ໄນ ເວລາ
9 ຊົ່ວໂມງ ມີຄ່າອັດຮາກຮາກເກີດເຂົ້າສົ່ງເຫຼືອກັບມີຄ່າໄກລ້າເດືອນກັນ ແຕ່ກາຮັກໃໝ່ວັດຖຸດົບທີ່ໃໝ່ນໍາມັນປາລົມເພີຍ
ອຍ່າງເດີຍກັບມີຄ່າອັດຮາກຮາກເກີດເຂົ້າສົ່ງເຫຼືອກັບມີຄ່າໄກລ້າເດືອນກັນ ໂດຍເນື່ອຜລິຕກັນທີ່ເຢັ້ນຕົວຄື່ງ
ອຸດນຫຼຸມທີ່ອັນປຽບກັບມີຄ່າອັດຮາກຮາກເກີດເຂົ້າສົ່ງເຫຼືອກັບມີຄ່າໄກລ້າເດືອນກັນ ໂດຍເນື່ອຜລິຕກັນທີ່ເຢັ້ນ
ຕົວຄື່ງ ຂັ້ນເນື່ອມາຈາກກົດເສື່ອຮອລທີ່ອູ້ໃນຜລິຕກັນທີ່

ตารางที่ 15 แสดงค่าการเปลี่ยนแปลงของกรดไขมันอิสระ (conversion FFA) ค่าความเป็นกรด (Acid value) และค่าอัตราการเกิดเอสเตอร์ (The ester yield) เป็นพังก์ชันกับเวลา เมื่อใช้น้ำมันตั้งต้นต่างๆ (10%w/w oleic acid +90%w/w palm oil, 100%w/w palm oil, 100%w/w oleic acid)

Time	10% oleic acid +90% palm			100% oleic acid			100% palm	
	Acid value (ml KOH/g oil)	conversion FFA (%)	ester yield (%)	Acid value (ml KOH/g oil)	conversion FFA (%)	ester yield (%)	Acid value (ml KOH/g oil)	ester yield (%)
0	24.68	0.00	0.00	237.80	0.00	0.00	0.19	0.00
1	12.56	49.10	4.46	138.45	41.77	34.57	2.14	3.94
3	4.88	80.21	26.80	67.73	71.52	78.61	3.55	38.27
5	2.60	89.45	31.57	41.74	82.45	106.82	3.31	54.80
7	2.62	89.38	41.57	37.01	84.44	106.85	3.22	55.95
9	2.68	89.16	49.2	32.29	86.42	107.00	3.29	53.81

4.2.6 การใช้ซ้ำ



รูปที่ 31 แสดงค่าอัตราการเกิดเอสเทอร์ (The ester yield) และ ค่าการเปลี่ยนแปลงของกรดไขมันอิสระ (conversion FFA) เป็นฟังก์ชันกับจำนวนครั้งของการใช้ทำปฏิกิริยา ณ สภาพ อุณหภูมิในการทำปฏิกิริยา 80°C ปริมาณของตัวเร่งปฏิกิริยา 10%w/w ของน้ำมัน ความเข้มข้นของสารละลายกรดซัลฟิวริก 20%w/w ของสารละลายกรด อัตราส่วนเชิงโมลของน้ำมันต่อเอทานอล 1:9 (—■— conversion FFA, - -○-- %ester yield)

วัตถุประสงค์หลักของการใช้ตัวเร่งปฏิกิริยาที่เป็นของแข็ง เนื่องจากความสามารถในการนำกลับมาใช้ซ้ำได้หลายครั้ง เพื่อจะลดต้นทุนในการผลิต และมีความสะดวกในการนำกลับมาใช้ใหม่ จากงานวิจัยในครั้งนี้ ตัวเร่งปฏิกิริยา H_2SO_4/AC ถูกทดลองใช้งานเป็นจำนวน 5 ครั้ง (ดังแสดงในรูปที่ 31) โดยตัวเร่งปฏิกิริยาไม่ได้ผ่านขั้นตอนการล้าง หรืออบให้แห้งใหม่ แต่นำกลับมาใช้โดย ผลกระทบทางด้านสังเกตได้ว่า ประสิทธิภาพในการลดค่าความเป็นกรดของสารตั้งต้น (conversion FFA) มีค่าเทบจะไม่ลดลงในช่วงการใช้งานจำนวน 1-4 รอบ ในขณะที่อัตราการเกิดเอสเทอร์มีค่าลดลงอย่างเห็นได้ชัด หากแต่จุดประสงค์หลักของการเร่งปฏิกิริยานี้มีเพื่อลดค่าความเป็นกรดของวัตถุดิบของสารตั้งต้นเป็นหลัก ก่อนที่กระบวนการผลิตจะตามด้วยปฏิกิริยาทรานส์เอสเทอเรฟิเคชันด้วยด่าง ซึ่งจากการทดลองแสดงให้เห็นว่าตัวเร่งปฏิกิริยา H_2SO_4/AC มีประสิทธิภาพสำหรับการใช้ซ้ำเพื่อวัตถุประสงค์ในการลดค่าความเป็นกรดของสารตั้งต้น เมื่อ

เปรียบเทียบความสามารถในการใช้ช้า ในปี ค.ศ. 2009 Cholada และคณะได้ใช้ $\text{WO}_x/\text{Al}_2\text{O}_3$ เป็นตัวเร่งปฏิกิริยาเอสเทอโรฟิเคลชันของน้ำมันพืชใช้แล้ว ณ สภาพะ อัตราส่วนเชิงมวลเมทานอลต่อน้ำมัน 0.3 ปริมาณตัวเร่งปฏิกิริยา 1.0%w/w อุณหภูมิที่ใช้ในการทำปฏิกิริยา 383 K และเวลาในการทำปฏิกิริยา 2 ชั่วโมง พบร่วมความสามารถน้ำมันพืชได้ถึง 3 ครั้ง [36] ในปีค.ศ. 2007 Joon Ching Juan สามารถใช้ ZS/AC ช้าได้ถึง 4 ครั้งเพื่อเอสเทอโรฟิเคลชัน กรดโอลิอิคด้วยบิวทานอล ณ สภาพะ อัตราส่วนเชิงไมล์ กรดโอลิอิค: บิวทานอล 0.1:0.12 ปริมาณตัวเร่งปฏิกิริยา 5% โดยนำน้ำ FFA อุณหภูมิ 120 องศาเซลเซียส เวลาในการทำปฏิกิริยา 4 ชั่วโมงซึ่งค่า Conversion FFA ลดลงมากหลังจากใช้ครั้งแรก แต่ในครั้งที่ 2-4 ยังมีค่าไกล์เดียง 80% อยู่ซึ่งยังถือว่ามีประสิทธิภาพอยู่ [6] ในปีค.ศ. 2008 Kathlene Jacobson สามารถใช้ ZS/Si ช้าได้ถึง 4 ครั้งเพื่อเอสเทอโรฟิเคลชัน นำน้ำจากการทำอาหารใช้แล้ว ณ สภาพะ อัตราส่วนเชิงไมล์ น้ำมัน: แอลกอฮอล์ 1:18 ปริมาณตัวเร่งปฏิกิริยา 3% โดยนำน้ำ FFA อุณหภูมิ 200 องศาเซลเซียส เวลาในการทำปฏิกิริยา 10 ชั่วโมง [37] เมื่อเปรียบเทียบระหว่างการใช้ช้ากับตัวเร่งปฏิกิริยาตัวอื่นกับ $\text{H}_2\text{SO}_4/\text{AC}$ ซึ่งสามารถใช้ช้าได้ 4 ครั้ง แสดงว่า $\text{H}_2\text{SO}_4/\text{AC}$ มีประสิทธิภาพในการนำมาใช้ช้า